

ISSN 1000-0933

CN 11-2031/Q

生态学报

Acta Ecologica Sinica



第31卷 第12期 Vol.31 No.12 2011

中国生态学学会

中国科学院生态环境研究中心

科学出版社

主办

出版



中国科学院科学出版基金资助出版

生态学报 (SHENTAI XUEBAO)

第31卷 第12期 2011年6月 (半月刊)

目 次

基于植被遥感的西南喀斯特退耕还林工程效果评价——以贵州省毕节地区为例.....	李昊,蔡运龙,陈睿山,等 (3255)
扩散对破碎化景观上宿主-寄生种群动态的影响	苏敏 (3265)
湿地功能评价的尺度效应——以盐城滨海湿地为例	欧维新,叶丽芳,孙小祥,等 (3270)
模拟氮沉降对杉木幼苗养分平衡的影响.....	樊后保,廖迎春,刘文飞,等 (3277)
中国东部森林样带典型森林水源涵养功能.....	贺淑霞,李叙勇,莫菲,等 (3285)
山西太岳山油松群落对采伐干扰的生态响应.....	郭东罡,上官铁梁,白中科,等 (3296)
长期施用有机无机肥对潮土微生物群落的影响	张焕军,郁红艳,丁维新 (3308)
云南元江干热河谷五种优势植物的内生真菌多样性.....	何彩梅,魏大巧,李海燕,等 (3315)
塔里木河中游洪水漫溢区荒漠河岸林实生苗更新.....	赵振勇,张科,卢磊,等 (3322)
基于8hm ² 样地的天山云杉林蒸腾耗水从单株到林分的转换	张毓涛,梁凤超,常顺利,等 (3330)
古尔班通古特沙漠土壤酶活性和微生物量氮对模拟氮沉降的响应.....	周晓兵,张元明,陶冶,等 (3340)
Pb污染对马蔺生长、体内重金属元素积累以及叶绿体超微结构的影响	原海燕,郭智,黄苏珍 (3350)
春、秋季节树干温度和液流速度对东北3树种树干表面CO ₂ 释放通量的影响	王秀伟,毛子军,孙涛,等 (3358)
云南南部和中部地区公路旁紫茎泽兰土壤种子库分布格局.....	唐樱殷,沈有信 (3368)
利用半球图像法提取植被冠层结构特征参数.....	彭焕华,赵传燕,冯兆东,等 (3376)
黑河上游蝗虫与植被关系的CCA分析	赵成章,周伟,王科明,等 (3384)
额尔古纳河流域秋季浮游植物群落结构特征.....	庞科,姚锦仙,王昊,等 (3391)
九龙江河口浮游植物的时空变动及主要影响因素.....	王雨,林茂,陈兴群,等 (3399)
东苕溪中下游河岸类型对鱼类多样性的影响.....	黄亮亮,李建华,邹丽敏,等 (3415)
基于RS/GIS公路路域水土流失动态变化的研究——以渝昆高速公路为例	陈爱侠,李敏,苏智先,等 (3424)
流域景观结构的城市化影响与生态风险评价.....	胡和兵,刘红玉,郝敬峰,等 (3432)
基于景观格局的锦州湾沿海经济开发区生态风险分析.....	高宾,李小玉,李志刚,等 (3441)
若尔盖高原土地利用变化对生态系统服务价值的影响.....	李晋昌,王文丽,胡光印,等 (3451)
施用鸡粪对土壤与小白菜中Cu和Zn累积的影响	张妍,罗维,崔晓勇,等 (3460)
基于GIS的宁夏灌区农田污染源结构特征解析.....	曹艳春,冯永忠,杨引禄,等 (3468)
底墒和种植方式对夏大豆光合特性及产量的影响.....	刘岩,周勋波,陈雨海,等 (3478)
不同施肥模式调控沿湖农田无机氮流失的原位研究——以南四湖过水区粮田为例	谭德水,江丽华,张骞,等 (3488)
丛枝菌根真菌对低温下黄瓜幼苗光合生理和抗氧化酶活性的影响	刘爱荣,陈双臣,刘燕英,等 (3497)
外源半胱氨酸对铜胁迫下小麦幼苗生长、铜积累量及抗氧化系统的影响	彭向永,宋敏 (3504)
专论与综述	
水平扫描技术及其在生态学中的应用前景.....	胡自民,李晶晶,李伟,等 (3512)
研究简报	
昆仑山北坡4种优势灌木的气体交换特征.....	朱军涛,李向义,张希明,等 (3522)
不同比例尺DEM数据对森林生态类型划分精度的影响	唐立娜,黄聚聪,代力民 (3531)
苏南丘陵区毛竹林冠截留降雨分布格局	贾永正,胡海波,张家洋 (3537)
外来种湿地松凋落物对土壤微生物群落结构和功能的影响	陈法霖,郑华,阳柏苏,等 (3543)
深圳地铁碳排放量	谢鸿宇,王习祥,杨木壮,等 (3551)

期刊基本参数:CN 11-2031/Q * 1981 * m * 16 * 304 * zh * P * ¥ 70.00 * 1510 * 35 * 2011-06



封面图说:自然奇观红海滩·辽宁省盘锦市——在辽河入海口生长着大片的潮间带植物碱蓬草,举目望去,如霞似火,蔚为壮观,人们习惯地称之为红海滩。粗壮的根系加快着海滩土壤的脱盐过程,掉下的茎叶腐质后肥化了土壤,它是大海的生态屏障。

彩图提供:段文科先生 中国鸟网 <http://www.birdnet.cn> E-mail:dwk9911@126.com

外来种湿地松凋落物对土壤微生物群落结构和功能的影响

陈法霖¹, 郑 华^{1,*}, 阳柏苏², 欧阳志云¹, 张 凯¹, 屠乃美³

(1. 中国科学院生态环境研究中心城市与区域生态国家重点实验室, 北京 100085;

2. 湖南第一师范学院, 长沙 410205; 3. 湖南农业大学, 长沙 410128)

摘要:通过凋落物袋+小盆模拟试验研究, 分两个时期(分解5个月和18个月)比较了外来种湿地松与本地种马尾松的凋落物对土壤微生物群落结构(磷脂脂肪酸)和功能(碳代谢)的影响, 结果表明:(1) 外来种湿地松凋落物的C:N高于本地种马尾松;(2) 两个时期, 湿地松凋落物处理土壤细菌和放线菌的磷脂脂肪酸含量均低于马尾松, 18个月时湿地松凋落物处理土壤真菌含量和群落真菌/细菌显著高于马尾松处理;(3) 湿地松凋落物影响下土壤微生物群落功能多样性显著低于马尾松;(4) 土壤微生物群落的结构显著影响微生物的活性和功能多样性: 土壤微生物群落碳源代谢的强度、多样性及丰富度与细菌磷脂脂肪酸含量呈极显著正相关, 细菌特征脂肪酸14:0、15:0、a15:0、i16:0、16:1ω7c、a17:0和cy19:0的含量显著影响土壤微生物群落碳代谢功能。上述结果表明: 与本地种马尾松相比, 引进种湿地松的凋落物显著改变了土壤微生物群落结构, 降低了微生物群落的功能。

关键词:湿地松;凋落物;土壤微生物群落;外来物种

Effects of exotic species slash pine (*Pinus elliottii*) litter on the structure and function of the soil microbial community

CHEN Falin¹, ZHENG Hua^{1,*}, YANG Bosu², OUYANG Zhiyun¹, ZHANG Kai¹, TU Naimei³

1 State Key Laboratory of Urban and Regional Ecology, Research Center for Eco-Environmental Sciences, Chinese Academy of Sciences, Beijing 100085, China

2 Hunan First Normal University, Changsha 410205, China

3 Hunan Agricultural University, Changsha 410128, China

Abstract: Litters are the important component of forest ecosystem and play a key role in plant growth and ecosystem nutrient cycle. Soil microbial communities, as one of the driving factors of forest litter decomposition, can significantly influenced by forest litter composition. Understanding the responses of soil microbial communities to litters is of great significance to evaluate the influence of exotic species. We designed a simulation experiment with flowerpots to determine the impacts of exotic slash pine (*Pinus elliottii*) litter on the structure and function of soil microbial communities in comparison with the native masson pine (*Pinus massoniana*) litter at the Ecological Benefit Monitoring Station of the Yangtze River Protection Forest, which is located in Hengyang County of southern Hunan Province. The structure and function of soil microbial communities were determined by PLFA (phospholipid fatty acids) and BIOLOG (single carbon metabolism) methods, respectively at two stages (decomposition for 5 months and 18 months). The results showed that: (1) the initial carbon-nitrogen ratio of slash pine litters was significantly higher than that of native species masson pine. (2) Phospholipid fatty acids concentrations of soil bacteria and actinomycetes under the slash pine litter treatment was significantly lower than those under masson pine litter treatment at the two stages. And at the latter stage (decomposition for 18 months), the phospholipid fatty acids concentration of fungi and the fungi-bacteria ratio of soil microbial community under slash pine litter

基金项目:国家自然科学基金项目(40871130;30600474);湖南省自然科学基金项目(07jj3082)

收稿日期:2010-05-15; 修订日期:2010-10-18

* 通讯作者 Corresponding author. E-mail: zhenghua@rcees.ac.cn

treatment were significantly higher in comparison with masson pine litter treatment. (3) Microbial function diversity under the slash pine litter treatment was significantly lower than that of masson pine litter treatment; the carbon metabolic intensity, richness and diversity of soil microbial communities under the slash pine litter treatment were significantly lower than those under masson pine litter treatment at the early stages, and the carbon metabolic intensity and richness of soil microbial communities under the slash pine litter treatment also were significantly lower than those under masson pine litter treatment at the latter stages. (4) The structure of soil microbial community significantly affected its activity and functional diversity: The intensity and diversity of microbial carbon metabolism showed significantly positive correlations with bacterial phospholipid fatty acids. Characteristic phospholipid fatty acids concentrations of bacteria, 14:0, 15:0, a15:0, i16:0, 16:1 ω 7c, a17:0 and cy19:0 significantly correlated with the intensity and diversity of microbial carbon metabolism. Our results suggested that slash pine litter significantly changed the structure and decreased the function of soil microbial communities in comparison with masson pine litter.

Key Words: *Pinus elliottii*; forest litter; soil microbial community; exotic species

外来种是指借助于自身力量或外界力量,传播到以往未曾分布过的区域,并且能进行后代繁衍的生物^[1]。外来种对生物多样性和生态系统功能的影响及其机制是生态学研究的热点之一,而地下生态过程研究则是揭示其影响机制的难点。土壤微生物作为地下生态学的主要研究对象之一,在土壤物质转换、能量流动、营养元素的生物地球化学循环方面发挥着举足轻重的作用。植物-微生物的相互作用调控着土壤生态过程与土壤养分的可利用性^[2],探讨植物外来种对土壤微生物的影响,对于全面评价外来种的生态影响具有重要意义。

在我国植树造林过程中,为了强调人工林的经济效益,原产于美国的湿地松(*Pinus elliottii*)以其速生、适应性强、木材用途广和松脂产量高等特征成为我国亚热带地区大面积造林树种,遍布南方11个省区^[3]。国内已对它的生长发育规律、生物产量和养分循环、化感作用、林地土壤特征进行了研究^[3-8]。已有研究表明:湿地松会导致生物多样性降低和土壤理化性状恶化,对土壤微生物的功能多样性造成一定影响^[8-10]。受土壤生态系统复杂性和实验手段的限制,湿地松对地下微生物群落影响的研究十分缺乏,致使对其影响的预测能力仍十分有限。

本研究以外来种湿地松为对象,主要目的在于明确其凋落物是否导致土壤微生物群落结构和功能的变化,对于明确外来种潜在的生态效应、全面科学的评价外来种湿地松的生态影响具有重要的理论与实践意义。主要回答以下两个问题:(1)引进种湿地松的凋落物对土壤微生物群落是否造成影响?在土壤微生物群落结构和功能方面将造成哪些影响?(2)引进种湿地松的凋落物诱导下,土壤微生物群落结构和功能存在怎样的联系?

1 材料与方法

1.1 试验点概况

本研究的研究场所选在湘南红壤丘陵区国家长江防护林生态效应监测站,位于湖南省衡阳县栏杆乡长冲村小流域,地处27°05'N,112°18'E,属亚热带季风湿润性气候,海拔86—147m,属典型的红壤低丘岗地,母岩为砂页岩,土壤为红壤,pH值4—5。该区域植被类型属亚热带常绿阔叶林和针叶林,目前主要是马尾松(*Pinus massoniana*)、湿地松(*Pinus elliottii*)等人工林及马尾松和壳斗科(*Fagaceae*)阔叶树种混交的天然次生林^[10]。

1.2 试验设计

本研究采用小盆模拟+凋落物袋的方法。选取林边气象观测站边上10 m×10 m大小空地模拟林内环境搭建大棚,大棚用遮光率85%的遮阳网覆盖,大棚内置直径30 cm、深度20 cm塑料小盆若干,小盆埋于土中,挖取林边空地0—40cm土层的土壤,去除土壤中原有的植物碎屑、死根等其他杂质,弄碎混匀移至小盆

中,各小盆内的供试土壤性质基本一致,供试土壤性质如表1(实验方法参考土壤农化分析^[11])。

本研究所选凋落物为当地典型针叶树种湿地松(引进种,*Pinus elliotti*, Slash pine, SP)和马尾松(本地种,*Pinus massoniana*, Masson pine, MP)的叶凋落物,为2006年底收集的新近凋落叶。凋落物袋所选尼龙网袋大小为25 cm×30 cm,网孔为1 mm²。称取各凋落叶20 g(风干重)分别装入网袋,每种45袋,共90袋,所有凋落物袋完全随机放置于各小盆内土壤表面,另设表面不添加凋落物小盆45盆为对照(CK)。

表1 供试土壤性质(平均值±标准差,n=7)

Table 1 Properties of experimental soils (means±SD. n=7)

土壤有机碳 Soil organic C /(g/kg)	总氮 Total N /(g/kg)	总磷 Total P /(mg/kg)	总钾 Total K /(g/kg)	碱解氮 Available N /(mg/kg)	速效磷 Available P /(mg/kg)	速效钾 Available K /(mg/kg)	酸碱度 pH (H ₂ O)
8.9±1.1	0.6±0.1	73.2±11.6	16.1±0.9	28.7±6.5	0.4±0.1	21.7±4.3	4.3±0.1

凋落叶网袋子于2007年4月中旬投放到样地大棚内,分别于凋落物放置5个月和18个月后取凋落袋下面土壤装入聚乙烯自封袋中于4℃条件下运回实验室。随机取各凋落物袋3袋,同时取凋落物袋下面表层土壤,另取3盆不添加凋落物对照的表层土壤适量,土壤装入聚乙烯自封袋中于4℃条件下运回实验室。

1.3 凋落物初始C、N

凋落物初始C、N的含量用德国Elementar公司生产的Vario III分析仪测定。

1.4 微生物生物量C

微生物生物量C采用氯仿熏蒸-K₂SO₄浸提-仪器分析法进行测定^[12],所用仪器为德国Elementar公司生产的Liqui TOC II分析仪。实验在取样后24h内进行。

1.5 BIOLOG微平板培养

微生物群落功能应用BIOLOG微生物自动分析系统进行测定^[10]。BIOLOG实验在取样后48h内进行。相当于10 g干重的鲜土外加90 mL无菌的0.85% NaCl(质量比)溶液在摇床上振荡30min,然后将土壤样品稀释至10⁻³,再用移液器从中取125 μL悬浮液接种至生态板(BIOLOG-ECO PLATE)的每一个孔中,将接种好的板放置于25℃恒温培养10 d,每12 h于波长为595 nm处的BIOLOG仪上读1次数。

孔的平均颜色变化率(Average well colour development, AWCD)计算方法^[13]如下:

$$AWCD = \sum (C - R)/n \quad (1)$$

式中,C为每个有培养基孔的光密度值,R为对照孔(A1)的光密度值,n为培养基碳源种类,Eco板n值为31。

采用曲线整合方法^[14]估计碳源代谢强度:

$$S = \sum [(v_i + v_{i-1})/2 \times (t_i + t_{i-1})] \quad (2)$$

式中,v_i为i时刻的AWCD值。

本研究用培养120h后的数据来表征BIOLOG板中的微生物代谢功能多样性特征:包括利用碳源的丰富度、香农多样性指数(Shannon index,H')。

香农多样性指数的计算公式为:

$$H' = - \sum P_i \ln P_i \quad (3)$$

式中,P_i=n_i/N,n_i是第i种培养基的光密度值,N为样品中所有培养基光密度值的总和;利用碳源的丰富度以C-R>0.25的数据为准。

用单因子方差分析(ANOVA)确定不同处理间土壤微生物群落碳代谢特征是否有显著差异。统计分析通过SPSS 16.0统计软件实现。

1.6 PLFA图谱分析

土壤微生物磷脂脂肪酸的测定方法在 Frostegård^[15]的方法上加以改进。PLFA 的命名采用以下原则^[15]: 以总碳数:双键数和双键距离分子甲基末端位置命名,c 表示顺式(双键两侧氢键在同侧),t 表示反式(双键两侧氢键在异侧),a(甲基在甲基末端第 3 位碳原子上)和 i(甲基在甲基末端第 2 位碳原子上)分别表示支链的反异构和异构,10Me 表示一个甲基团在距分子羧基端第 10 位碳原子上,环丙烷脂肪酸用 cy 表示。

脂肪酸定量用峰面积和内标(19:0)曲线法。PLFA 含量用 nmol/g 表示。主要微生物类群的生物量通过以下 PLFA 的总量来估算:细菌(14:0、15:0、a15:0、i16:0、16:1ω7c、a17:0、17:0、18:1ω7t、i18:0、cy19:0、i19:0)^[16];用 18:2ω6,9 与 18:1ω9c 的和来估算真菌的生物量^[16-17];用 10Me18:0 与 10Me19:0 的和来估算放线菌的生物量^[18]。

用单因子方差分析(ANOVA)确定不同处理间土壤微生物群落结构是否有显著差异。统计分析通过 SPSS 16.0 统计软件实现。

2 结果

2.1 淀落物初始碳氮比

外来种湿地松的凋落物,其含碳量和木质素含量显著高于本地种马尾松的凋落物;含氮量则显著低于马尾松;湿地松凋落物的 C/N 和木质素/N 显著高于马尾松,分别高达 109 和 95(表 2)。

表 2 供试凋落物性质(平均值±标准差,n=3)

Table 2 Properties of experimental litters (means±SD, n=3)

凋落物 Litter	C/%	N/%	木质素 Lignin/%	C/N	木质素/氮 Lignin/N
马尾松 (MP)	52.84±0.09	0.67±0.01 *	40.36±0.44	78.64±0.80	60.06±0.66
湿地松 (SP)	53.78±0.13 *	0.49±0.02	46.92±0.31 *	109.07±3.15 *	95.16±2.68 *

* P<0.05

2.2 磷脂脂肪酸组成

根据表 3,凋落物分解 5 个月时,与不添加凋落物土壤相比,添加马尾松和湿地松凋落物的土壤微生物群落磷脂脂肪酸总量增加(P<0.05),增幅分别为 31.9% 和 11.5%。土壤细菌脂肪酸含量从大到小依次为马尾松>湿地松>CL(P<0.05),马尾松和湿地松分别使细菌脂肪酸含量增加 54.6% 和 26.8%。两种凋落物处理土壤真菌、放线菌的磷脂脂肪酸含量以及群落真菌/细菌比例差异不大,群落真菌含量和真菌/细菌比例都显著低于对照,放线菌含量则显著高于对照(P<0.05)。

表 3 不同处理土壤细菌、真菌、放线菌磷脂脂肪酸含量及总量(平均值±标准差,n=3)

Table 3 Bacteria, fungi, actinomycetes and Total PLFAs in control and amended soils (means±SD, n=3)

时期 Phase	处理/ Treatment	总量/(nmol/g) Total	细菌/(nmol/g) Bacteria	真菌/(nmol/g) Fungi	放线菌/(nmol/g) Actinomycetes	真菌/细菌 fungi/bacteria
5 个月	CK	19.65±3.60 b	12.24±1.97 c	3.69±0.74 a	3.71±0.90 b	0.30±0.02 a
5 months	马尾松 (MP)	26.91±1.22 a	18.91±0.91 a	2.66±0.12 b	5.33±0.19 a	0.14±0.001 b
	湿地松 (SP)	23.21±2.33 ab	15.52±1.51 b	2.52±0.28 b	5.17±0.59 a	0.16±0.01 b
18 个月	CK	29.42±0.73 a	14.45±0.15 b	11.17±0.75 a	3.80±0.13 ab	0.77±0.06 a
18 months	马尾松 (MP)	25.21±0.75 b	15.05±0.33 a	6.02±0.32 b	4.14 ±0.23 a	0.40±0.01 b
	湿地松 (SP)	30.29±0.19 a	14.51±0.19 b	12.06 ±0.13 a	3.71±0.13 b	0.83±0.002 a

同列不同小写字母表示处理间差异显著(P<0.05)

凋落物分解 18 个月时,添加湿地松凋落物的土壤和对照(CK)土壤微生物群落的磷脂脂肪酸总量显著高于添加马尾松凋落物的土壤,产生这种状况的原因主要是随着凋落物的分解进程,土壤微生物群落真菌数量增加,群落真菌/细菌比例上升,根据表 3 可以看出:分解 18 个月时,湿地松处理和对照的土壤中真菌磷脂脂肪酸的含量和群落真菌/细菌比例显著高于马尾松处理,虽然相对于 5 个月时,马尾松处理土壤细菌和放线菌

的脂肪酸含量仍然显著高于湿地松和对照,但是湿地松处理和对照的土壤微生物群落真菌的磷脂脂肪酸含量分别增加了3.79倍和2.03倍,而马尾松的只增加了1.26倍;湿地松处理和对照的土壤微生物群落真菌与细菌的比例分别上升到了0.83和0.77,而马尾松处理土壤微生物群落仍然以细菌占绝对优势,其真菌与细菌的比例只有0.44。

2.3 碳代谢功能

用BIOLOG微平板培养法比较研究不同处理下土壤微生物群落碳代谢特征可以发现(表4),凋落物分解5个月时,不管是培养120h后,微生物群落利用碳源的丰富度和多样性指数,还是整个培养时期内,微生物群落对31种碳源整体的代谢强度,在不同处理间表现出相同的规律,从高到低依次为:马尾松>湿地松>CL($P<0.05$)。

表4 土壤微生物利用碳源的强度、多样性及丰富度(平均值±标准差, $n=3$)

Table 4 Carbon metabolic intensity, diversity and richness of soil microbial communities for different litters(means±SD. $n=3$)

时期 Phase	处理 Treatment	代谢强度 Metabolic intensity	丰富度 Richness	Shannon 多样性指数 Shannon index
5 个月 5 months	CK	154.93±9.38 c	20.33±1.15 b	2.95±0.06 b
	马尾松(MP)	237.76±7.78 a	27.00±1.73 a	3.20±0.03 a
	湿地松(SP)	196.34±4.27 b	21.67±1.15 b	2.99±0.04 b
18 个月 18 months	CK	84.32±4.26 b	8.67±0.58 b	2.64±0.04 ab
	马尾松(MP)	131.69±22.91 a	16.67±1.53 a	2.86±0.15 a
	湿地松(SP)	111.19±6.44 ab	10.00±5.29 b	2.51±0.24 b

同列不同小写字母表示处理间差异显著($P<0.05$)

分解至18个月时,湿地松凋落物处理的土壤微生物群落的丰富度和多样性指数依然都显著低于马尾松凋落物处理的土壤,碳代谢强度也略低于马尾松处理,此时湿地松凋落物处理的土壤微生物群落在代谢碳源的能力上(代谢强度、丰富度和多样性)与不添加凋落物的土壤微生物群落差异不显著。

2.4 土壤微生物细菌群落结构与碳代谢功能的关系

把碳源代谢强度、多样性及丰富度与反映土壤细菌群落结构的参数做相关分析发现:碳源代谢强度、多样性及丰富度与细菌磷脂脂肪酸含量极显著正相关($P<0.01$);凋落物分解5个月时,细菌特征磷脂脂肪酸14:0、15:0、a15:0、i16:0、16:1ω7c、a17:0和cy19:0的含量显著影响土壤微生物群落碳源利用的强度、丰富度以及多样性;分解18个月时,影响土壤微生物群落碳源利用的强度、丰富度以及多样性的磷脂脂肪酸主要有15:0、i16:0、a17:0和cy19:0(表5)。

表5 土壤微生物群落碳代谢强度、多样性和丰富度与细菌群落结构参数的关系

Table 5 Correlation between carbon metabolic intensity, diversity and richness of soil microbial community and different bacterial structural parameters

结构参数 Structural parameters	碳代谢强度 Carbon metabolic intensity		多样性 Diversity		丰富度 Richness	
	5 个月 5 months	18 个月 18 months	5 个月 5 months	18 个月 18 months	5 个月 5 months	18 个月 18 months
	14:0	0.856 **	0.733 *		0.863 **	
15:0	0.975 **	0.672 *	0.888 **	0.788 *	0.950 **	
a15:0	0.990 **		0.874 **		0.917 **	
i16:0	0.836 **		0.795 *		0.960 **	0.687 *
16:1ω7c	0.947 **		0.853 **		0.901 **	
a17:0	0.926 **	0.902 **	0.846 **	0.906 **	0.991 **	
cy19:0	0.921 **		0.838 **	0.693 *	0.987 **	
细菌 PLFA	0.928 **	0.870 **	0.845 **	0.879 **	0.951 **	0.824 **

表格里的数字为相关系数; * $P<0.05$; ** $P<0.01$

3 结论与讨论

3.1 淀落物碳氮比

作为森林生态系统养分循环的重要环节,淀落物分解显著影响土壤养分的有效性、土壤理化性状、有机物的构成以及森林生态系统的生产力,淀落物养分组成的差异影响淀落物的分解速率^[19]。本研究发现虽然外来种湿地松和本地种马尾松同属松科松属,但是湿地松针叶中碳素和木质素的含量显著高于马尾松;含氮量则显著低于马尾松,湿地松针叶的C/N和木质素/N显著高于马尾松(表2)。淀落物C/N和木质素/N是常见的淀落物质量指标,最能反映淀落物分解速率,通常C/N和木质素/N低的淀落物分解较快^[20-21]。已有研究表明湿地松林地土壤养分的积累量低于马尾松林^[3],以上结果可以为此提供一部分解释。

3.2 微生物群落结构和功能

土壤微生物是淀落物的主要分解者,淀落物分解与土壤微生物群落结构和功能变化是相互影响、相互制约的过程,土壤微生物群落调控淀落物分解过程,淀落物则通过养分组成影响土壤微生物群落的丰度、组成和活性^[20]。

微生物生物量的C:N约为10:1,当微生物分解有机物时,只有约40%的碳转化成微生物生物量,有60%的碳通过呼吸作用以CO₂的形式返回到大气中^[2]。在40%生长效率的情况下,微生物需要C:N约为25:1的底物来满足他们的需氮量^[2],但是湿地松淀落物的C:N约却高达109(表2)。实际上,在微生物生长过程中,C:N约总是变化的,细菌C:N约为5—10,真菌为8—15^[2],这也意味着相对于真菌,细菌每合成自身1个单位的碳需要更多的氮来产生生物量,而利用相同数量的底物,真菌能比细菌形成更多的生物量^[2]。所以本研究中外来种湿地松淀落物处理的土壤细菌显著低于马尾松。本研究中湿地松的淀落物中木质素的含量显著高于马尾松的淀落物,随着淀落物分解的进程,淀落物分解至18个月时,微生物可利用碳源的数量和质量都下降,而真菌具有一套丰富的酶系统,既能分解像碳水化合物和蛋白质这样简单易分解的化合物、也能分解像纤维素和木质素这样难分解的复杂化合物^[21],湿地松淀落物处理的土壤微生物群落真菌含量显著高于马尾松淀落物处理,虽然相对于分解5个月时两种淀落物处理的土壤微生物群落真菌的磷脂脂肪酸含量都有所上升,但是湿地松处理的土壤微生物群落真菌与细菌的比例上升到了0.83,而马尾松处理土壤微生物群落仍然以细菌占绝对优势,其真菌与细菌的比例只有0.44(表3)。

生态系统结构和功能的关系,一直是研究的重点:结构决定功能,功能反作用于结构。组成结构不同的群落对生态系统进程的影响不一样,因为不同的微生物对土壤进程的影响不一样,由于功能的差异,每一种微生物都有特殊的方式影响淀落物的碎裂或硝化作用,再者,不同的微生物对某些特定进程的影响有强度的差异,而这些不同又会导致物种间的相互影响,相互促进或者相互抑制^[22]。本研究用PLFA和BIOLOG方法分别研究了土壤微生物的群落结构和功能,两种方法得到一致的结果:在立地条件基本一致的前提下,本地种马尾松淀落物影响下土壤微生物群落的细菌含量显著高于外来种湿地松,群落碳代谢的强度、丰富度和多样性也显著高于湿地松淀落物影响下的土壤微生物群落。相关分析也表明,土壤微生物群落碳代谢的强度、多样性及丰富度与细菌磷脂脂肪酸含量呈极显著正相关关系,特别是细菌特征脂肪酸14:0、15:0、a15:0、i16:0、16:1ω7c、a17:0和cy19:0的含量显著影响土壤微生物群落碳源利用的强度、丰富度以及多样性(表4)。以上也说明物种间功能的差异程度控制生态进程,群落中特殊物种对功能差异度的贡献也许是生物多样性提高生态进程速率的一个重要原因^[22]。

养分有效性(例如淀落物C、N、木质素含量)的差异决定了微生物的需求、活力并最终决定由微生物决定的进程(例如C、N循环)^[23]。本研究中,不同的底物(本研究中为不同C/N、木质素/N的淀落物)导致土壤微生物群落结构发生变化(反映在磷脂脂肪酸组成的变化上),微生物群落结构的变化,致使代谢强度相应发生变化(表4),进而将影响生态系统的C循环速率。可见,优化淀落物C/N比,不仅对于通过提高淀落物分解速率改善土壤肥力具有重要意义^[19,24-26],而且能改变土壤微生物群落的结构,改善土壤微生物群落的功能(表3和表4)。然而,淀落物具体如何影响土壤微生物群落的结构和功能,淀落物诱导下土壤微生物群落结

构与功能又存在怎样的反馈机制,这还有待进一步研究,如:除了C/N、木质素/N以外,土壤微生物群落结构如何响应凋落物的其他指标,土壤微生物哪些关键类群及其多样性决定了土壤微生物群落的功能,等等。

研究表明:与本地种马尾松相比,引进种湿地松的凋落物显著改变了土壤微生物群落结构,降低了微生物群落的功能,且二者显著相关。植物外来种在生态系统内和生态系统间的生态功能价值是复杂的、不同的。在复杂的森林生态系统内,影响土壤微生物的因素很多,凋落物仅仅是其中的一个重要方面。本研究采取模拟试验的方法,初步探讨外来种湿地松凋落物分解与地下土壤微生物的相互作用关系,结果只在特定条件下具有统计学意义。对于外来种与土壤微生物群落在更大尺度上的相互影响机制,还需要通过大量的试验来进一步证明。

References:

- [1] Xiang Y C, Peng S L, Zhou H C, Cai X A. The impacts of non-native species on biodiversity and its control. *Guizhou*, 2002, 22(5): 425-432.
- [2] Chapin F S III, Matson P A, Mooney H A. *Principles of Terrestrial Ecosystem Ecology*. New York: Springer, 2002.
- [3] Tian D L, Xiang W H, Yan W D. Comparison of biomass dynamic and nutrient cycling between *Pinus massoniana* plantation and *Pinus elliottii* plantation. *Acta Ecologica Sinica*, 2004, 24(10): 2207-2210.
- [4] Li F, Chen Y R. A study on the nutrient cycling of the mineral elements in the *Pinus elliottii* plantation. *Scientia Silvae Sinicae*, 1996, 32(4): 298-304.
- [5] Lin J, Zeng R S, Shi M B, Chen Z, Liang Z H. Allelopathic effects of *Eucalyptus urophylla* and *Pinus elliottii* on *Pisolithus tinctorius*. *Journal of South China Agricultural University (Natural Science Edition)*, 2003, 24(2): 48-50.
- [6] Wang Q M, Shi Y G. A preliminary study on the biomass and production of slash pine plantation in Jiangsu province. *Acta Phytocologica et Geobotanica Sinica*, 1990, 14(1): 1-12.
- [7] Xue L, Wu M, Xu Y, Li Y, Qu M. Soil nutrients and microorganisms in soils of typical plantations in south China. *Acta Pedologica Sinica*, 2005, 42(6): 1017-1023.
- [8] Zheng H, Ouyang Z Y, Wang X K, Fang Z G, Zhao T Q, Miao H. Effects of forest restoration patterns on soil microbial communities. *Chinese Journal of Applied Ecology*, 2004, 15(11): 2019-2024.
- [9] Peng S L, Xiang Y C. The invasion of exotic plants and effects of ecosystems. *Acta Ecologica Sinica*, 1999, 19(4): 560-568.
- [10] Zheng H, Chen F L, Ouyang Z Y, Fang Z G, Wang X K, Miao H. Utilization of different carbon sources types in biolog-GN microplates by soil microbial communities from four forest types. *Environmental Science*, 2007, 28(5): 1126-1130.
- [11] Bao S D. *Soil Agriculturalization Analysis*. 3rd ed. Beijing: China Agriculture Press, 2005.
- [12] Wu J S, Lin Q M, Huang Q Y, Xiao H A. *Soil Microbial Biomass-methods and Application*. Beijing: Meteorological Press, 2006.
- [13] Garland J L, Mills A L. Classification and characterization of heterotrophic microbial communities on the basis of patterns of community-level sole-carbon-source utilization. *Applied and Environmental Microbiology*, 1991, 57(8): 2351-2359.
- [14] Guckert J B, Carr G J, Johnson T D, Hamm B G, Davidson D H, Kumagai Y. Community analysis by Biolog: curve integration for statistical analysis of activated sludge microbial habitats. *Journal of Microbiological Methods*, 1996, 27(2/3): 183-197.
- [15] Frostegård Å, Bäth E, Tunlid A. Shifts in the structure of soil microbial communities in limed forests as revealed by phospholipid fatty-acid analysis. *Soil Biology and Biochemistry*, 1993, 25(6): 723-730.
- [16] Frostegård Å, Bäth E. The use of phospholipid fatty acid analysis to estimate bacterial and fungal biomass in soil. *Biology and Fertility of Soils*, 1996, 22(1/2): 59-65.
- [17] Bäth E. The use of neutral lipid fatty acids to indicate the physiological conditions of soil fungi. *Microbial Ecology*, 2003, 45(4): 373-383.
- [18] Frostegård Å, Tunlid A, Bäth E. Phospholipid fatty-acid composition, biomass, and activity of microbial communities from 2 soil types experimentally exposed to different heavy-metals. *Applied and Environmental Microbiology*, 1993, 59(11): 3605-3617.
- [19] Bragazza L, Siffi C, Iacumin P, Gerdol R. Mass loss and nutrient release during litter decay in peatland: the role of microbial adaptability to litter chemistry. *Soil Biology and Biochemistry*, 2007, 39(1): 257-267.
- [20] Polyakova O, Billor N. Impact of deciduous tree species on litterfall quality, decomposition rates and nutrient circulation in pine stands. *Forest Ecology and Management*, 2007, 253(1/3): 11-18.
- [21] Carlile M J, Watkinson S C, Gooday G W. *The Fungi*. 2nd ed. New York: Academic Press, 2001.
- [22] Heemsbergen D A, Berg M P, Loreau M, van Haj J R, Faber J H, Verhoef H A. Biodiversity effects on soil processes explained by interspecific functional dissimilarity. *Science*, 2004, 306(5698): 1019-1020.

- [23] Booth M S, Stark J M, Rastetter E. Controls on nitrogen cycling in terrestrial ecosystems: a synthetic analysis of literature data. *Ecological Monographs*, 2005, 75(2) : 139-157.
- [24] Hu Y L, Wang S L, Huang Y, Yu X J. Effects of litter chemistry on soil biological property and enzymatic activity. *Acta Ecologica Sinica*, 2005, 25(10) : 2662-2668.
- [25] Lin K M, Zhang Z Q, Zou S Q, Cao G Q. The influence of chinese fir mixed with broad-leaf litter decomposition on character of forest soil. *Chinese Journal of Soil Science*, 2006, 37(2) : 258-262.
- [26] Lin K M, Zhang Z Q, Cao G Q, He Z M, Ma X Q. Decomposition characteristics and its nutrient dynamics of leaf litter mixtures of both Chinese fir and Phoebe bournei. *Acta Ecologica Sinica*, 2006, 26(8) : 2732-2738.

参考文献:

- [1] 向言词, 彭少麟, 周厚诚, 蔡锡安. 外来种对生物多样性的影响及其控制. *广西植物*, 2002, 22(5) : 425-432.
- [3] 田大伦, 项文化, 闫文德. 马尾松与湿地松人工林生物量动态及养分循环特征. *生态学报*, 2004, 24(10) : 2207-2210.
- [4] 李飞, 陈永瑞. 人工湿地松林矿质营养循环的研究. *林业科学*, 1996, 32(4) : 298-304.
- [5] 林捷, 曾任森, 石木标, 陈湛, 梁子恒. 尾叶桉和湿地松对彩色豆马勃的化感作用研究. *华南农业大学学报: 自然科学版*, 2003, 24(2) : 48-50.
- [6] 汪企明, 石有光. 江苏省湿地松人工林生物量的初步研究. *植物生态学与地植物学学报*, 1990, 14(1) : 1-12.
- [7] 薛立, 吴敏, 徐燕, 李燕, 屈明. 几个典型华南人工林土壤的养分状况和微生物特性研究. *土壤学报*, 2005, 42(6) : 1017-1023.
- [8] 郑华, 欧阳志云, 王效科, 方治国, 赵同谦, 苗鸿. 不同森林恢复类型对土壤微生物群落的影响. *应用生态学报*, 2004, 15(11) : 2019-2024.
- [9] 彭少麟, 向言词. 植物外来种入侵及其对生态系统的影响. *生态学报*, 1999, 19(4) : 560-568.
- [10] 郑华, 陈法霖, 欧阳志云, 方治国, 王效科, 苗鸿. 不同森林土壤微生物群落对 Biolog-GN 板碳源的利用. *环境科学*, 2007, 28(5) : 1126-1130.
- [11] 鲍士旦. 土壤农化分析 (第三版). 北京: 中国农业出版社, 2005,
- [12] 吴金水, 林启美, 黄巧云, 肖和艾. 土壤微生物生物量测定方法及其应用. 北京: 气象出版社, 2006.
- [24] 胡亚林, 汪思龙, 黄宇, 于小军. 调落物化学组成对土壤微生物学性状及土壤酶活性的影响. *生态学报*, 2005, 25(10) : 2662-2668.
- [25] 林开敏, 章志琴, 邹双全, 曹光球. 杉木与阔叶树叶调落物混合分解对土壤性质的影响. *土壤通报*, 2006, 37(2) : 258-262.
- [26] 林开敏, 章志琴, 曹光球, 何宗明, 马祥庆. 杉木与楠木叶调落物混合分解及其养分动态. *生态学报*, 2006, 26(8) : 2732-2738.

ACTA ECOLOGICA SINICA Vol. 31 ,No. 12 June ,2011 (Semimonthly)

CONTENTS

Effect assessment of the project of grain for green in the karst region in Southwestern China: a case study of Bijie Prefecture	LI Hao, CAI Yunlong, CHEN Ruishan, et al (3255)
The effect of dispersal on the population dynamics of a host-parasite system in fragmented landscape	SU Min (3265)
The effect of spatial scales on wetland functions evaluation: a case study for coastal wetlands in Yancheng, Jiangsu Province	OU Weixin, YE Lifang, SUN Xiaoxiang, et al (3270)
Effects of simulated nitrogen deposition on nutrient balance of Chinese fir (<i>Cunninghamia lanceolata</i>) seedlings	FAN Houbao, LIAO Yingchun, LIU Wenfei, et al (3277)
The water conservation study of typical forest ecosystems in the forest transect of eastern China	HE Shuxia, LI Xuyong, MO Fei, et al (3285)
The ecological responses of <i>Pinus tabulaeformis</i> forests in Taiyue Mountains of Shanxi to artificial Harvesting	GUO Donggang, SHANGGUAN Tieliang, BAI Zhongke, et al (3296)
The influence of the long-term application of organic manure and mineral fertilizer on microbial community in calcareous fluvo-aquic soil	ZHANG Huanjun, YU Hongyan, DING Weixin (3308)
Endophytic fungal diversity of five dominant plant species in the dry-hot valley of Yuanjiang, Yunnan Province, China	HE Caimei, WEI Daqiao, LI Haiyan, et al (3315)
Seedling recruitment in desert riparian forest following river flooding in the middle reaches of the Tarim River	ZHAO Zhenyong, ZHANG Ke, LU Lei, et al (3322)
Scaling up for transpiration of <i>Pinaceae schrenkiana</i> stands based on 8hm permanent plots in Tianshan Mountains	ZHANG Yutao, LIANG Fengchao, CHANG Shunli, et al (3330)
Responses of soil enzyme activities and microbial biomass N to simulated N deposition in Gurbantunggut Desert	ZHOU Xiaobing, ZHANG Yuanning, TAO Ye, et al (3340)
Effects of Pb on growth, heavy metals accumulation and chloroplast ultrastructure of <i>Iris lactea</i> var. <i>Chinensis</i>	YUAN Haiyan, GUO Zhi, HUANG Suzhen (3350)
Effects of temperature and sap flow velocity on CO ₂ efflux from stems of three tree species in spring and autumn in Northeast China	WANG Xiuwei, MAO Zijun, SUN Tao, et al (3358)
The soil seed bank of <i>Eupatorium adenophorum</i> along roadsides in the south and middle area of Yunnan, China	TANG Yingyin, SHEN Youxin (3368)
Extracting the canopy structure parameters using hemispherical photography method	PENG Huanhua, ZHAO Chuanyan, FENG Zhaodong, et al (3376)
The CCA analysis between grasshopper and plant community in upper reaches of Heihe River	ZHAO Chengzhang, ZHOU Wei, WANG Keming, et al (3384)
Community structure characteristics of phytoplankton in argun River Drainage Area in autumn	PANG Ke, YAO Jinxian, WANG Hao, et al (3391)
Spatial and temporal variation of phytoplankton and impacting factors in Jiulongjiang Estuary of Xiamen, China	WANG Yu, LIN Mao, CHEN Xingqun, et al (3399)
Effect of bank type on fish biodiversity in the middle-lower reaches of East Tiaoxi River, China	HUANG Liangliang, LI Jianhua, ZOU Limin, et al (3415)
Study on dynamic changes of soil and water loss along highway based on RS/GIS: an example of Yujing expressway	CHEN Aixia, LI Min, SU Zhixian, et al (3424)
The urbanization effects on watershed landscape structure and their ecological risk assessment	HU Hebing, LIU Hongyu, HAO Jingfeng, et al (3432)
Assessment of ecological risk of coastal economic developing zone in Jinzhou Bay based on landscape pattern	GAO Bin, LI Xiaoyu, LI Zhigang, et al (3441)
Impacts of land use and cover changes on ecosystem service value in Zoige Plateau	LI Jinchang, WANG Wenli, HU Guangyin, et al (3451)
Effect of chicken manure application on Cu and Zn accumulation in soil and <i>Brassica sinensis</i> L.	ZHANG Yan, LUO Wei, CUI Xiaoyong, et al (3460)
GIS analysis of structural characteristics of pollution sources in irrigable farmland in Ningxia China	CAO Yanchun, FENG Yongzhong, YANG Yinlu, et al (3468)
Effects of pre-sowing soil moisture and planting patterns on photosynthetic characteristics and yield of summer soybean	LIU Yan, ZHOU Xunbo, CHEN Yuhai, et al (3478)
<i>In situ</i> study on influences of different fertilization patterns on inorganic nitrogen losses through leaching and runoff: a case of field in Nansi Lake Basin	TAN Deshui, JIANG Lihua, ZHANG Qian, et al (3488)
Effects of AM fungi on leaf photosynthetic physiological parameters and antioxidant enzyme activities under low temperature	LIU Airong, CHEN Shuangchen, LIU Yanying, et al (3497)
Effects of exogenous cysteine on growth, copper accumulation and antioxidative systems in wheat seedlings under Cu stress	PENG Xiangyong, SONG Min (3504)
Review and Monograph	
The horizon scanning technology and its application prospect in Ecology	HU Zimin, LI Jingjing, LI Wei, et al (3512)
Scientific Note	
The gas exchange characteristics of four shrubs on the northern slope of Kunlun Mountain	ZHU Juntao, LI Xiangyi, ZHANG Ximing, et al (3522)
Effect of DEM data at different scales on the accuracy of forest Ecological Classification system	TANG Lina, HUANG Juecong, DAI Limin (3531)
Canopy interception of rainfall by Bamboo plantations growing in the Hill Areas of Southern Jiangsu Province	JIA Yongzheng, HU Haibo, ZHANG Jiayang (3537)
Effects of exotic species slash pine (<i>Pinus elliottii</i>) litter on the structure and function of the soil microbial community	CHEN Falin, ZHENG Hua, YANG Bosu, et al (3543)
The carbon emission analysis of Shenzhen Metro	XIE Hongyu, WANG Xixiang, YANG Muzhuang, et al (3551)

2009 年度生物学科总被引频次和影响因子前 10 名期刊*

(源于 2010 年版 CSTPCD 数据库)

排序 Order	期刊 Journal	总被引频次 Total citation	排序 Order	期刊 Journal	影响因子 Impact factor
1	生态学报	11764	1	生态学报	1.812
2	应用生态学报	9430	2	植物生态学报	1.771
3	植物生态学报	4384	3	应用生态学报	1.733
4	西北植物学报	4177	4	生物多样性	1.553
5	生态学杂志	4048	5	生态学杂志	1.396
6	植物生理学通讯	3362	6	西北植物学报	0.986
7	JOURNAL OF INTEGRATIVE PLANT BIOLOGY	3327	7	兽类学报	0.894
8	MOLECULAR PLANT	1788	8	CELL RESEARCH	0.873
9	水生生物学报	1773	9	植物学报	0.841
10	遗传学报	1667	10	植物研究	0.809

*《生态学报》2009 年在核心版的 1964 种科技期刊排序中总被引频次 11764 次, 全国排名第 1; 影响因子 1.812, 全国排名第 14; 第 1—9 届连续 9 年入围中国百种杰出学术期刊; 中国精品科技期刊

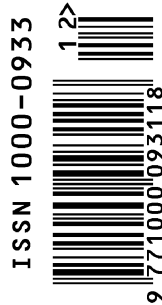
编辑部主任 孔红梅

执行编辑 刘天星 段 靖

生态学报
(SHENGTAI XUEBAO)
(半月刊 1981 年 3 月创刊)
第 31 卷 第 12 期 (2011 年 6 月)

ACTA ECOLOGICA SINICA
(Semimonthly, Started in 1981)
Vol. 31 No. 12 2011

编 辑	《生态学报》编辑部 地址: 北京海淀区双清路 18 号 邮政编码: 100085 电话: (010) 62941099 www. ecologica. cn shengtaixuebao@ rcees. ac. cn	Edited by Editorial board of ACTA ECOLOGICA SINICA Add: 18, Shuangqing Street, Haidian, Beijing 100085, China Tel: (010) 62941099 www. ecologica. cn Shengtaixuebao@ rcees. ac. cn
主 编	冯宗炜	Editor-in-chief FENG Zong-Wei
主 管	中国科学技术协会	Supervised by China Association for Science and Technology
主 办	中国生态学学会 中国科学院生态环境研究中心 地址: 北京海淀区双清路 18 号 邮政编码: 100085	Sponsored by Ecological Society of China Research Center for Eco-environmental Sciences, CAS Add: 18, Shuangqing Street, Haidian, Beijing 100085, China
出 版	科学出版社 地址: 北京东黄城根北街 16 号 邮政编码: 100717	Published by Science Press Add: 16 Donghuangchenggen North Street, Beijing 100717, China
印 刷	北京北林印刷厂	Printed by Beijing Bei Lin Printing House, Beijing 100083, China
发 行	科学出版社 地址: 东黄城根北街 16 号 邮政编码: 100717 电话: (010) 64034563 E-mail: journal@ cspg. net	Distributed by Science Press Add: 16 Donghuangchenggen North Street, Beijing 100717, China Tel: (010) 64034563 E-mail: journal@ cspg. net
订 购	全国各地邮局	Domestic All Local Post Offices in China
国外发行	中国国际图书贸易总公司 地址: 北京 399 信箱 邮政编码: 100044	Foreign China International Book Trading Corporation Add: P. O. Box 399 Beijing 100044, China
广告经营 许 可 证	京海工商广字第 8013 号	



ISSN 1000-0933
CN 11-2031/Q

国内外公开发行

国内邮发代号 82-7

国外发行代号 M670

定价 70.00 元